

(HI,xn $\gamma$ ) 2013Ma84,2000Ti01

Type	Author	History	Citation	Literature Cutoff Date
Full Evaluation	H. Iimura, J. Katakura, S. Ohya		NDS 180, 1 (2022)	1-Oct-2021

2013Ma84:  $^{116}\text{Sn}(^{14}\text{N},4n\gamma)$  E=77 MeV,  $\gamma\gamma$ , DCO.

2000Ti01:  $^{116}\text{Sn}(^{14}\text{N},4n\gamma)$ ; E=68 MeV,  $\gamma\gamma$ ,  $\gamma_{ce}$ .

1989Ny01:  $^{111}\text{Cd}(^{19}\text{F},4n\gamma)$ ; E( $^{19}\text{F}$ )=90 MeV.  $^{93}\text{Nb}(^{37}\text{Cl},p3n\gamma)$ ; E( $^{37}\text{Cl}$ )=155 MeV.  $\gamma\gamma$ ,  $\gamma\text{X}$ ,  $4\pi$  BaF<sub>2</sub> counter.  $I\gamma$  were not given. Others: 1986Qu01:  $^{112}\text{Sn}(^{16}\text{O},pn\gamma)$ , E=72, 137 MeV.  $\gamma\gamma$ ,  $\gamma\text{X}$ ,  $\gamma\gamma(t)$ ,  $\gamma(\theta)$ .

 $^{126}\text{La}$  Levels

E(level) <sup>b</sup>	J $\pi$ <sup>c</sup>	Comments
0.0+x <sup>‡</sup>	(7 <sup>+</sup> )	Additional information 1.
0.0+y <sup>&amp;</sup>	(4 <sup>-</sup> )	Additional information 2.
70.56+x <sup>†</sup> 24	(8 <sup>+</sup> )	
81.9+y <sup>&amp;</sup> 8	(5 <sup>-</sup> )	
147.1+y <sup>a</sup> 9	(5 <sup>-</sup> )	
186.14+x <sup>‡</sup> 24	(9 <sup>+</sup> )	
210.0+y <sup>&amp;</sup> 8	(6 <sup>-</sup> )	
323.0+x <sup>†</sup> 3	(10 <sup>+</sup> )	
388.8+y <sup>&amp;</sup> 9	(7 <sup>-</sup> )	
454.1+y <sup>a</sup> 9	(7 <sup>-</sup> )	
553.6+x <sup>‡</sup> 3	(11 <sup>+</sup> )	
612.1+y <sup>&amp;</sup> 9	(8 <sup>-</sup> )	
764.5+x <sup>†</sup> 3	(12 <sup>+</sup> )	
872.3+y <sup>&amp;</sup> 10	(9 <sup>-</sup> )	
932.4+y <sup>a</sup> 10	(9 <sup>-</sup> )	
1081.7+x <sup>#</sup> 4	(10 <sup>+</sup> )	
1094.6+x <sup>‡</sup> 4	(13 <sup>+</sup> )	
1180.8+y <sup>&amp;</sup> 10	(10 <sup>-</sup> )	
1318.6+x <sup>@</sup> 4	(11 <sup>+</sup> )	
1379.7+x <sup>†</sup> 4	(14 <sup>+</sup> )	
1472.2+x <sup>#</sup> 3	(12 <sup>+</sup> )	
1508.7+y <sup>&amp;</sup> 12	(11 <sup>-</sup> )	
1562.6+y <sup>a</sup> 12	(11 <sup>-</sup> )	
1791.4+x <sup>‡</sup> 4	(15 <sup>+</sup> )	
1811.5+x <sup>@</sup> 4	(13 <sup>+</sup> )	
1884.5+y <sup>&amp;</sup> 12	(12 <sup>-</sup> )	
2040.8+x <sup>#</sup> 4	(14 <sup>+</sup> )	
2149.7+x <sup>†</sup> 4	(16 <sup>+</sup> )	
2272.2+y <sup>&amp;</sup> 13	(13 <sup>-</sup> )	
2316.6+y <sup>a</sup> 16	(13 <sup>-</sup> )	
2407.8+x <sup>@</sup> 4	(15 <sup>+</sup> )	
2627.2+x <sup>‡</sup> 4	(17 <sup>+</sup> )	
2678.3+y <sup>&amp;</sup> 14	(14 <sup>-</sup> )	
2716.3+x <sup>#</sup> 4	(16 <sup>+</sup> )	
3059.8+x <sup>†</sup> 5	(18 <sup>+</sup> )	
3100.2+y <sup>&amp;</sup> 17		

Continued on next page (footnotes at end of table)

(HI,xn $\gamma$ ) **2013Ma84,2000Ti01** (continued)

<sup>126</sup>La Levels (continued)

E(level) <sup>b</sup>	J $\pi$ <sup>c</sup>	E(level) <sup>b</sup>	J $\pi$ <sup>c</sup>	E(level) <sup>b</sup>	J $\pi$ <sup>c</sup>
3120.3+x <sup>@</sup> 5	(17 <sup>+</sup> )	3502.3+y <sup>&amp;</sup> 18		4653.2+x <sup>‡</sup> 5	(21 <sup>+</sup> )
3174.6+y <sup>a</sup> 19		3585.3+x <sup>‡</sup> 5	(19 <sup>+</sup> )	5245.9+x <sup>†</sup> 6	(22 <sup>+</sup> )
3498.9+x <sup>#</sup> 5	(18 <sup>+</sup> )	4094.1+x <sup>†</sup> 5	(20 <sup>+</sup> )	5811.3+x <sup>‡</sup> 12	
				6481.9+x <sup>†</sup> 12	

<sup>†</sup> Band(A): band 1, Configuration= $((\pi h_{11/2})(\nu h_{11/2}))$ , signature partner of band 2.

<sup>‡</sup> Band(a): band 2, Configuration= $((\pi h_{11/2})(\nu h_{11/2}))$ , signature partner of band 1.

<sup>#</sup> Band(B): band 3, Configuration= $((\pi h_{11/2})(\nu h_{11/2}))$ , signature partner of band 4.

<sup>@</sup> Band(b): band 4, Configuration= $((\pi h_{11/2})(\nu h_{11/2}))$ , signature partner of band 3.

<sup>&</sup> Band(C): band 5, Configuration= $((\pi h_{11/2})(\nu d_{5/2})+(\pi h_{11/2})(\nu g_{7/2}))$ .

<sup>a</sup> Band(D): band 6.

<sup>b</sup> From a least-squares fit to E( $\gamma$ 's) by evaluators, assuming  $\Delta E\gamma=0.3$  keV for 2013Ma84 and  $\Delta E\gamma=1$  keV for others.

<sup>c</sup> JPI of bands 1-4 are from 2013Ma34 based on band structure, DCO values and systematics. JPI of bands 5 and 6 are from 2000Ti01 based on band structure and cranked shell model calculation. For bands 1 and 2, 2000Ti01 suggested the spins lower by two units.

$\gamma(^{126}\text{La})$

DCO(D+Q) ratios are for gates on  $\Delta J=1$ , D+Q transitions. DCO(Q) ratios are for gates on  $\Delta J=2$ , Q transitions.

E $\gamma$ <sup>†</sup>	I $\gamma$ <sup>@</sup>	E <sub>i</sub> (level)	J $\pi$ <sub>i</sub>	E <sub>f</sub>	J $\pi$ <sub>f</sub>	Mult. <sup>&amp;</sup>	Comments
70.5		70.56+x	(8 <sup>+</sup> )	0.0+x	(7 <sup>+</sup> )	M1	
82 <sup>‡</sup>		81.9+y	(5 <sup>-</sup> )	0.0+y	(4 <sup>-</sup> )	M1+E2	
115.5	32 3	186.14+x	(9 <sup>+</sup> )	70.56+x	(8 <sup>+</sup> )	M1	DCO(D+Q)=0.87 18
128 <sup>‡</sup>		210.0+y	(6 <sup>-</sup> )	81.9+y	(5 <sup>-</sup> )	M1	
136.7	76 6	323.0+x	(10 <sup>+</sup> )	186.14+x	(9 <sup>+</sup> )	M1	DCO(D+Q)=0.92 22
147 <sup>‡</sup>		147.1+y	(5 <sup>-</sup> )	0.0+y	(4 <sup>-</sup> )		
153.5	0.7 2	1472.2+x	(12 <sup>+</sup> )	1318.6+x	(11 <sup>+</sup> )	D+Q <sup>a</sup>	DCO(D+Q)=1.0 4
158 <sup>‡</sup>		612.1+y	(8 <sup>-</sup> )	454.1+y	(7 <sup>-</sup> )		
179 <sup>‡</sup>		388.8+y	(7 <sup>-</sup> )	210.0+y	(6 <sup>-</sup> )	M1,E2	
186.2	2.1 6	186.14+x	(9 <sup>+</sup> )	0.0+x	(7 <sup>+</sup> )	Q <sup>a</sup>	DCO(D+Q)=1.7 4
210 <sup>#</sup>		210.0+y	(6 <sup>-</sup> )	0.0+y	(4 <sup>-</sup> )		
211.0	78 7	764.5+x	(12 <sup>+</sup> )	553.6+x	(11 <sup>+</sup> )	M1,E2	DCO(D+Q)=1.07 21
223 <sup>‡</sup>		612.1+y	(8 <sup>-</sup> )	388.8+y	(7 <sup>-</sup> )	M1,E2	
229.3	3.1 11	2040.8+x	(14 <sup>+</sup> )	1811.5+x	(13 <sup>+</sup> )	D+Q <sup>a</sup>	DCO(D+Q)=1.1 5
230.7	100.0 23	553.6+x	(11 <sup>+</sup> )	323.0+x	(10 <sup>+</sup> )	M1,E2	DCO(D+Q)=1.03 21
237.0		1318.6+x	(11 <sup>+</sup> )	1081.7+x	(10 <sup>+</sup> )		
244 <sup>‡</sup>		454.1+y	(7 <sup>-</sup> )	210.0+y	(6 <sup>-</sup> )		
248 <sup>‡</sup>		1180.8+y	(10 <sup>-</sup> )	932.4+y	(9 <sup>-</sup> )		
252.5	17 4	323.0+x	(10 <sup>+</sup> )	70.56+x	(8 <sup>+</sup> )	Q <sup>a</sup>	DCO(D+Q)=1.7 5
260 <sup>‡</sup>		872.3+y	(9 <sup>-</sup> )	612.1+y	(8 <sup>-</sup> )		
285.0	30 3	1379.7+x	(14 <sup>+</sup> )	1094.6+x	(13 <sup>+</sup> )	M1,E2	DCO(D+Q)=1.01 20
307 <sup>‡</sup>		388.8+y	(7 <sup>-</sup> )	81.9+y	(5 <sup>-</sup> )		
307 <sup>‡</sup>		454.1+y	(7 <sup>-</sup> )	147.1+y	(5 <sup>-</sup> )		
308.5	1.5 5	2716.3+x	(16 <sup>+</sup> )	2407.8+x	(15 <sup>+</sup> )		

Continued on next page (footnotes at end of table)

(HI,xn $\gamma$ ) **2013Ma84,2000Ti01** (continued)

$\gamma(^{126}\text{La})$  (continued)

$E_\gamma$ <sup>†</sup>	$I_\gamma$ <sup>@</sup>	$E_i$ (level)	$J_i^\pi$	$E_f$	$J_f^\pi$	Mult.&	Comments
309 $\ddagger$		1180.8+y	(10 <sup>-</sup> )	872.3+y	(9 <sup>-</sup> )		
320 $\ddagger$		932.4+y	(9 <sup>-</sup> )	612.1+y	(8 <sup>-</sup> )		
328 $\ddagger$		1508.7+y	(11 <sup>-</sup> )	1180.8+y	(10 <sup>-</sup> )		
330.2	57 5	1094.6+x	(13 <sup>+</sup> )	764.5+x	(12 <sup>+</sup> )	M1,E2	DCO(D+Q)=0.92 18
339.4	4.8 13	1811.5+x	(13 <sup>+</sup> )	1472.2+x	(12 <sup>+</sup> )	D+Q <sup>a</sup>	DCO(D+Q)=1.1 4; DCO(Q)=0.55 13
358.2	8 3	2149.7+x	(16 <sup>+</sup> )	1791.4+x	(15 <sup>+</sup> )	D+Q <sup>a</sup>	DCO(D+Q)=1.05 21
367.0	3.5 11	2407.8+x	(15 <sup>+</sup> )	2040.8+x	(14 <sup>+</sup> )		
367.6	23.1 21	553.6+x	(11 <sup>+</sup> )	186.14+x	(9 <sup>+</sup> )	Q <sup>a</sup>	DCO(D+Q)=1.7 4
376 $\ddagger$		1884.5+y	(12 <sup>-</sup> )	1508.7+y	(11 <sup>-</sup> )		
382 $\ddagger$		1562.6+y	(11 <sup>-</sup> )	1180.8+y	(10 <sup>-</sup> )		
388 $\ddagger$		2272.2+y	(13 <sup>-</sup> )	1884.5+y	(12 <sup>-</sup> )		
390.5	2.1 8	1472.2+x	(12 <sup>+</sup> )	1081.7+x	(10 <sup>+</sup> )		
402 $\ddagger$		612.1+y	(8 <sup>-</sup> )	210.0+y	(6 <sup>-</sup> )		
406 <sup>#</sup>		2678.3+y	(14 <sup>-</sup> )	2272.2+y	(13 <sup>-</sup> )		
411.7	30 4	1791.4+x	(15 <sup>+</sup> )	1379.7+x	(14 <sup>+</sup> )	D+Q <sup>a</sup>	DCO(D+Q)=0.96 19
432.5	2.1 11	3059.8+x	(18 <sup>+</sup> )	2627.2+x	(17 <sup>+</sup> )	D+Q <sup>a</sup>	DCO(D+Q)=1.08 18
441 $\ddagger$	53 5	764.5+x	(12 <sup>+</sup> )	323.0+x	(10 <sup>+</sup> )	Q <sup>a</sup>	DCO(D+Q)=1.7 3 E $\gamma$ : 411.8 in 2013Ma84 is a typo. The authors' placement requires E $\gamma$ =441.5.
477.5	11 3	2627.2+x	(17 <sup>+</sup> )	2149.7+x	(16 <sup>+</sup> )	D+Q <sup>a</sup>	DCO(D+Q)=0.95 22
478 $\ddagger$		932.4+y	(9 <sup>-</sup> )	454.1+y	(7 <sup>-</sup> )		
484 $\ddagger$		872.3+y	(9 <sup>-</sup> )	388.8+y	(7 <sup>-</sup> )		
493.0	4.3 14	1811.5+x	(13 <sup>+</sup> )	1318.6+x	(11 <sup>+</sup> )	Q <sup>a</sup>	DCO(D+Q)=1.8 5
509.0		4094.1+x	(20 <sup>+</sup> )	3585.3+x	(19 <sup>+</sup> )		
525.5	4.1 12	3585.3+x	(19 <sup>+</sup> )	3059.8+x	(18 <sup>+</sup> )	D+Q <sup>a</sup>	DCO(D+Q)=0.9 3
541.0	34 7	1094.6+x	(13 <sup>+</sup> )	553.6+x	(11 <sup>+</sup> )	Q <sup>a</sup>	DCO(D+Q)=1.6 4
559.0		4653.2+x	(21 <sup>+</sup> )	4094.1+x	(20 <sup>+</sup> )		
568.5	9 3	2040.8+x	(14 <sup>+</sup> )	1472.2+x	(12 <sup>+</sup> )	Q <sup>a</sup>	DCO(D+Q)=1.8 6; DCO(Q)=1.03 19
569 $\ddagger$		1180.8+y	(10 <sup>-</sup> )	612.1+y	(8 <sup>-</sup> )		
592.5		5245.9+x	(22 <sup>+</sup> )	4653.2+x	(21 <sup>+</sup> )		
596.5	5.7 19	2407.8+x	(15 <sup>+</sup> )	1811.5+x	(13 <sup>+</sup> )	Q <sup>a</sup>	DCO(D+Q)=1.8 6
615.2	67 8	1379.7+x	(14 <sup>+</sup> )	764.5+x	(12 <sup>+</sup> )	Q <sup>a</sup>	DCO(Q)=1.7 4
630 $\ddagger$		1562.6+y	(11 <sup>-</sup> )	932.4+y	(9 <sup>-</sup> )		
636 $\ddagger$		1508.7+y	(11 <sup>-</sup> )	872.3+y	(9 <sup>-</sup> )		
661.2	1.8 7	2040.8+x	(14 <sup>+</sup> )	1379.7+x	(14 <sup>+</sup> )	D+Q <sup>a</sup>	DCO(D+Q)=0.9 4
675.5	4.1 14	2716.3+x	(16 <sup>+</sup> )	2040.8+x	(14 <sup>+</sup> )		
696.8	51 6	1791.4+x	(15 <sup>+</sup> )	1094.6+x	(13 <sup>+</sup> )	Q <sup>a</sup>	DCO(D+Q)=1.7 5
704 $\ddagger$		1884.5+y	(12 <sup>-</sup> )	1180.8+y	(10 <sup>-</sup> )		
707.5	1.4 4	1472.2+x	(12 <sup>+</sup> )	764.5+x	(12 <sup>+</sup> )	D+Q <sup>a</sup>	DCO(D+Q)=0.98 23
712.5		3120.3+x	(17 <sup>+</sup> )	2407.8+x	(15 <sup>+</sup> )		
754 $\ddagger$		2316.6+y	(13 <sup>-</sup> )	1562.6+y	(11 <sup>-</sup> )		
763 $\ddagger$		2272.2+y	(13 <sup>-</sup> )	1508.7+y	(11 <sup>-</sup> )		
770.0	38 5	2149.7+x	(16 <sup>+</sup> )	1379.7+x	(14 <sup>+</sup> )	Q <sup>a</sup>	DCO(D+Q)=1.8 6
782.5	7.8 25	3498.9+x	(18 <sup>+</sup> )	2716.3+x	(16 <sup>+</sup> )	Q <sup>a</sup>	DCO(D+Q)=1.7 6
794 $\ddagger$		2678.3+y	(14 <sup>-</sup> )	1884.5+y	(12 <sup>-</sup> )		
824 <sup>#</sup>		3502.3+y		2678.3+y	(14 <sup>-</sup> )		
828 <sup>#</sup>		3100.2+y		2272.2+y	(13 <sup>-</sup> )		
836.0	28 4	2627.2+x	(17 <sup>+</sup> )	1791.4+x	(15 <sup>+</sup> )	Q <sup>a</sup>	DCO(D+Q)=1.7 4
858 <sup>#b</sup>		3174.6+y?		2316.6+y	(13 <sup>-</sup> )		
895.6		1081.7+x	(10 <sup>+</sup> )	186.14+x	(9 <sup>+</sup> )		
910.0	24 3	3059.8+x	(18 <sup>+</sup> )	2149.7+x	(16 <sup>+</sup> )	Q <sup>a</sup>	DCO(D+Q)=1.6 4

Continued on next page (footnotes at end of table)

**(HI,xn $\gamma$ ) 2013Ma84,2000Ti01 (continued)** $\gamma(^{126}\text{La})$  (continued)

$E_\gamma$ †	$I_\gamma$ @	$E_i(\text{level})$	$J_i^\pi$	$E_f$	$J_f^\pi$	Mult. &	Comments
918.5	4.8 16	1472.2+x	(12 <sup>+</sup> )	553.6+x	(11 <sup>+</sup> )	D+Q <sup>a</sup>	DCO(D+Q)=1.04 17; DCO(Q)=0.56 9
925.0	1.6 5	2716.3+x	(16 <sup>+</sup> )	1791.4+x	(15 <sup>+</sup> )		
946.2	4.3 15	2040.8+x	(14 <sup>+</sup> )	1094.6+x	(13 <sup>+</sup> )	D+Q <sup>a</sup>	DCO(D+Q)=1.02 19; DCO(Q)=0.57 8
958.2	15 4	3585.3+x	(19 <sup>+</sup> )	2627.2+x	(17 <sup>+</sup> )	Q <sup>a</sup>	DCO(D+Q)=1.7 4
995.6	2.3 8	1318.6+x	(11 <sup>+</sup> )	323.0+x	(10 <sup>+</sup> )	D+Q <sup>a</sup>	DCO(D+Q)=1.07 23; DCO(Q)=0.63 11
1028.0		2407.8+x	(15 <sup>+</sup> )	1379.7+x	(14 <sup>+</sup> )		
1034.0	15 5	4094.1+x	(20 <sup>+</sup> )	3059.8+x	(18 <sup>+</sup> )	Q <sup>a</sup>	DCO(D+Q)=1.8 4
1047.0	3.5 12	1811.5+x	(13 <sup>+</sup> )	764.5+x	(12 <sup>+</sup> )	D+Q <sup>a</sup>	DCO(D+Q)=1.12 25
1068.0	5.8 21	4653.2+x	(21 <sup>+</sup> )	3585.3+x	(19 <sup>+</sup> )	Q <sup>a</sup>	DCO(D+Q)=1.6 5
1149.2	2.2 7	1472.2+x	(12 <sup>+</sup> )	323.0+x	(10 <sup>+</sup> )	Q <sup>a</sup>	DCO(D+Q)=1.7 5; DCO(Q)=0.98 15
1152.0	7.2 25	5245.9+x	(22 <sup>+</sup> )	4094.1+x	(20 <sup>+</sup> )	Q <sup>a</sup>	DCO(D+Q)=1.6 4
1158 <sup>#b</sup>		5811.3+x?		4653.2+x	(21 <sup>+</sup> )		
1236 <sup>#b</sup>		6481.9+x?		5245.9+x	(22 <sup>+</sup> )		
1258.0	2.3 8	1811.5+x	(13 <sup>+</sup> )	553.6+x	(11 <sup>+</sup> )	Q <sup>a</sup>	DCO(D+Q)=1.8 4
1276.3	3.1 11	2040.8+x	(14 <sup>+</sup> )	764.5+x	(12 <sup>+</sup> )	Q <sup>a</sup>	DCO(D+Q)=1.8 4; DCO(Q)=1.06 16

† From 2013Ma84 unless otherwise noted.

‡ From 2000Ti01.

# From 1989Ny01.

@ From 2013Ma84.

& From the plots of  $\alpha(K)\text{exp}$  and K/L ratios unless otherwise noted. Numerical values are not listed (2000Ti01).

<sup>a</sup> From DCO (2013Ma84).

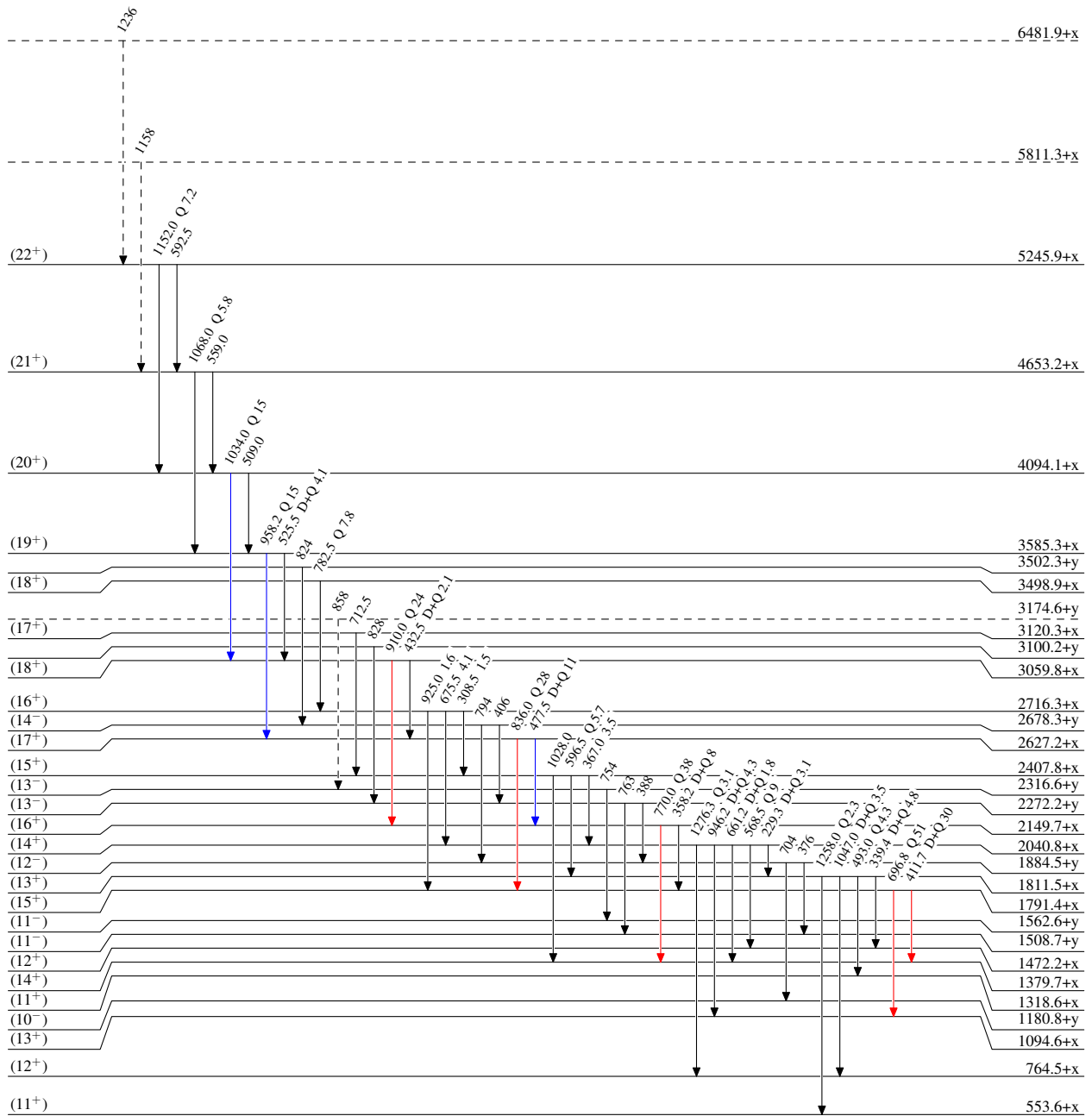
<sup>b</sup> Placement of transition in the level scheme is uncertain.

(HI,xn $\gamma$ ) 2013Ma84,2000Ti01

Legend

Level Scheme  
Intensities: Relative  $I_\gamma$

- $\longrightarrow$   $I_\gamma < 2\% \times I_\gamma^{max}$
- $\longrightarrow$   $I_\gamma < 10\% \times I_\gamma^{max}$
- $\longrightarrow$   $I_\gamma > 10\% \times I_\gamma^{max}$
- $\dashrightarrow$   $\gamma$  Decay (Uncertain)



$^{126}_{57}\text{La}_{69}$

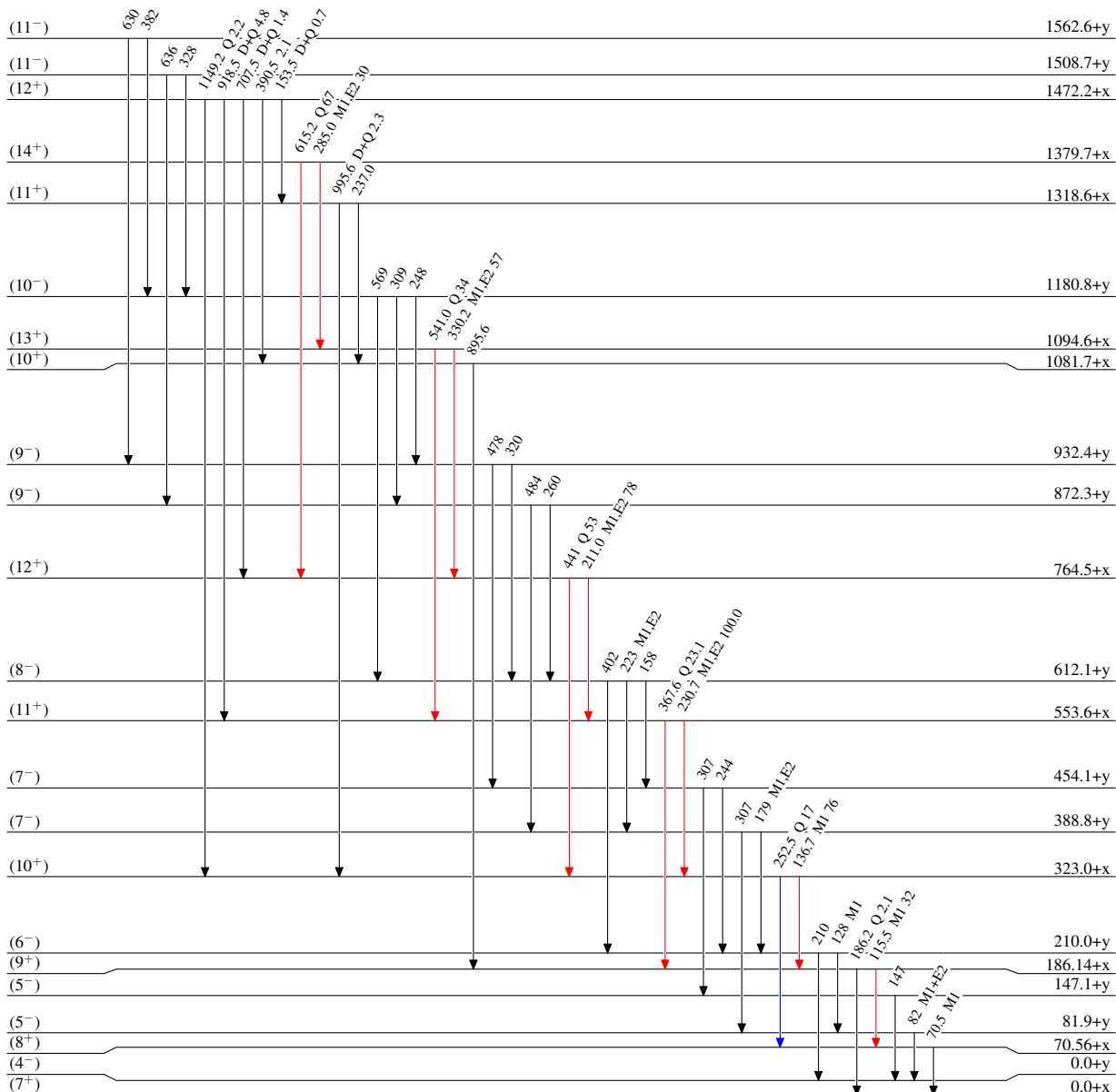
**(HI,xn $\gamma$ ) 2013Ma84,2000Ti01**

**Level Scheme (continued)**

Intensities: Relative  $I_\gamma$

Legend

- $I_\gamma < 2\% \times I_\gamma^{max}$
- $I_\gamma < 10\% \times I_\gamma^{max}$
- $I_\gamma > 10\% \times I_\gamma^{max}$



$^{126}_{57}\text{La}_{69}$

**(HI,xn $\gamma$ ) 2013Ma84,2000Ti01**